



دانشگاه صنعتی خواجه نصیرالدین طوسی

دانشکده عمران

ارزیابی عددی اندرکنش دال بتني سقف با اتصال

فولادی نیمهصلب

تهریه و تدوین: بهرام گراوند

استاد راهنمای

پروفسور سید امیرالدین صدرنژاد

تابستان ۱۳۸۹



تقدیم به

مادر مهربانم که هر چه دارم از اوست،

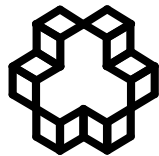
و

پدر عزیزم که وجودش هستی بخش ماست،

و همچنین آنان که با ابزار دانش در راه ستایش و رستگاری انسان می‌کوشند و

به سوی هدفی والا ره می‌سپارند و روز و شب پیوسته در خیال خویش

وظیفه‌ای مشخص دارند با عشقی بزرگ.



دانشگاه صنعتی خواجه نصیرالدین طوسی

دانشکده عمران

تاپیدیہ ہیئت داوران

هیئت داوران پس از مطالعه پایان نامه و شرکت در جلسه دفاع از پایان نامه تهیه شده تحت عنوان ارزیابی عددی اندرکنش دال بتنی سقف با اتصال فولادی نیمه صلب توسط آقای بهرام گراوند صحت و کفایت تحقیق انجام شده را برای اخذ درجه کارشناسی ارشد در رشته مهندسی عمران گرایش سازه مورد تایید قرار می‌دهند.

۱- استاد راهنما دکتر سید امیرالدین صدرنژاد امضا

۲- ممتحن خارجی دکتر شاه کرمی امضا

امضا دکتر فرزین کلانتری ۳- ممتحن داخلی

۴- نماینده تحصیلات تکمیلی آقای دکتر امضا

اظهار نامه دانشجو

موضوع پایان نامه:

ارزیابی عددی اندرکنش دال بتنی سقف با اتصال فولادی نیمه صلب

اساتید راهنما: پروفسور سید امیرالدین صدرنژاد

نام دانشجو: بهرام گراوند

شماره دانشجویی: ۸۶۰۲۲۹۴

اینجانب بهرام گراوند دانشجوی دوره کارشناسی ارشد مهندسی عمران گرایش سازه دانشکده عمران دانشگاه صنعتی خواجه نصیر الدین طوسی گواهی می‌نمایم که تحقیقات ارائه شده در این پایان نامه توسط شخص اینجانب انجام شده و صحت و اصالت مطالب نگارش شده مورد تایید می‌باشد، به علاوه گواهی می‌نمایم که مطالب مندرج در پایان نامه تاکنون برای دریافت هیچ نوع مدرک یا امتیازی توسط اینجانب یا فرد دیگری در هیچ جا ارائه نشده است و در تدوین متن پایان نامه چهارچوب (فرمت) مصوب دانشگاه را به طور کامل رعایت کرده‌ام.

امضا دانشجو :

تاریخ :

فرم حق تکثیر و مالکیت نتایج

۱- حق چاپ و تکثیر این پایان‌نامه متعلق به نویسنده آن می‌باشد. هرگونه کپی برداری به صورت کل پایان‌نامه یا بخشی از آن تنها با موافقت نویسنده یا کتابخانه دانشکده عمران دانشگاه صنعتی خواجه نصیر الدین طوسی مجاز می‌باشد.

ضمناً متن این صفحه نیز باید در نسخه تکثیر شده وجود داشته باشد.

۲- کلیه حقوق معنوی این اثر متعلق به دانشگاه صنعتی خواجه نصیر الدین طوسی می‌باشد و بدون اجازه کتبی دانشگاه به شخص ثالث قابل واگذاری نیست.

همچنین استفاده از اطلاعات و نتایج موجود در پایان نامه بدون ذکر مرجع مجاز نمی‌باشد.

تشکر و قدردانی

و چنانک به نادر افتاد که مردمی که نجارت
ناآموخته تختی نیک تواند تراشید، به نادر افتاد که
مردمی منطق ناآموخته علمی مکتب بروجهی کامل
حاصل تواند کرد. بل، همچنانک بیشتر مردم که نجارت
ندانند قادر باشند بر آنک چوبی بتراشند اما واقع نباشند
به آنک آن چوب به آن تراشیدن به اصلاح آید یا نیاید،
بلک تباہ شود، بیشتر مردم که منطق ندانند در معانی
تصرفی توانند کرد، اما واقع نباشند به آنک از آن تصرف
علمی حاصل شود یا نشود، بلک در حیرت بیفزاید، یا در
ضلالت افکند. و نه هر که کاری کند داند که چه میکند،
یا چه میباید کرد، بلک بسیار کسان باشند که در کارها
شروع کنند بر سبیل خبط. و همچنین باشد حکم کسانی
که طلب علوم کنند و بر صناعت منطق واقف نباشند.

خواجه نصیرالدین طوسی

اکنون که مرحله‌ای دیگر از دوران تحصیل را به پایان می‌رسانم، فرصت را مغتنم شمرده و بر
خود لازم می‌دانم از پدر و مادر عزیز و مهربانم که همواره مشوق من بوده‌اند، تشکر و قدردانی
کنم.

همچنین، از استاد راهنمای ارجمند، جناب آقای پروفسور سید امیرالدین صدرنژاد که
راهنمای اینجانب در دوره‌ی کارشناسی ارشد بوده‌اند و هدایت این پایان‌نامه را بر عهده
داشته‌اند، کمال تشکر و سپاس را دارم.

در انتهای، وظیفه خود می‌دانم که از زحمات کلیه‌ی معلمان، دبیران و اساتید خود در تمام
مقاطع مختلف تحصیلی، تقدیر و تشکر نمایم.

چکیده

در این رساله اثر دال بتنی سقف بر میزان سختی اتصالات نیمهصلب فولادی تحت بارگذاری مونوتونیک با استفاده از روش‌های عددی بررسی شده است. اتصال فولادی مورد بررسی، یک اتصال پیچی نیمهصلب با نبشی در بالا و پایین اتصال می‌باشد. نتایج رفتار لنگر- دوران به دست آمده از روش عددی برای این اتصال با آزمایش‌های انجام شده توسط محققین دیگر مقایسه گردید، که انطباق خوبی بین نتایج ملاحظه می‌شود.

برای بررسی اندرکنش دال بتنی سقف با اتصال نیمهصلب انتخاب شده، از دو دال بتنی مسطح و ماهیچه‌ای در اطراف ستون، استفاده شده است. دال‌های بتنی سقف با استفاده از آرماتورهای طولی کاملاً مسلح شده و به وسیله‌ی برشگیرهای مناسب به بال تیر متصل شده‌اند.

در نهایت رفتار لنگر- دوران و ظرفیت خمشی اتصالات مرکب در دو حالت بارگذاری تحت لنگر خمشی مثبت در هر دو طرف اتصال و بارگذاری با لنگر منفی در طرفین اتصال، با استفاده از روش- های عددی بدست آمده است. و سرانجام منحنی‌های لنگر- دوران حالات مختلف اتصال، با هم مقایسه شده‌اند.

واژه‌های کلیدی: بارگذاری مونوتونیک، منحنی لنگر- دوران، اتصال نیمهصلب فولادی، ظرفیت خمشی، دال بتنی مسطح، دال بتنی ماهیچه‌ای، روش عددی.

فهرست مطالب

۱۱	فصل اول
۱۱	مقدمه
۱۲.....	۱-۱ مقدمه ای بر اتصالات نیمه صلب.
۱۴.....	۱-۱-۱ طبقه بندی اتصالات
۱۵.....	۱-۱-۲ اتصالات از دیدگاه آینین نامه ها
۱۷.....	۱-۲ مقدمه ای بر سازه ها با سقف مرکب
۲۱.....	فصل دوم
۲۱.....	مروری بر کارهای انجام گرفته
۲۲.....	۲-۱ روشهای مطالعه اتصالات پیچی
۲۲.....	۲-۱-۱ بررسی های آزمایشگاهی صورت گرفته بر روی اتصالات دوبل نیشی نشیمن
۲۵.....	۲-۱-۲ بررسی های عددی صورت گرفته در مورد اتصالات نیشی نشیمن
۳۲.....	۲-۲ اتصالات مرکب
۳۹.....	۲-۲-۱ خواص مکانیکی مواد
۴۰.....	۲-۲-۲ توصیف مدل
۴۴.....	۲-۲-۳ معرفی مدل های مورد مطالعه
۴۶.....	۲-۲-۴ مقایسه بین نتایج مدلها
۴۷.....	۲-۲-۵ رسم منحنی های لنگر- دوران مدلها
۴۸.....	۲-۲-۶ اثر استفاده از بتون در اتصال
۴۹.....	۲-۲-۷ اثر استفاده از سخت کننده در اتصال
۵۰.....	۲-۲-۸ اثر استفاده از آرماتور در دال بتونی سقف
۵۲.....	فصل سوم
۵۲.....	مدلسازی اجزاء محدود سه بعدی اتصالات
۵۳.....	۱-۳ مدل اجزای محدود
۵۳.....	۲-۳ مدلسازی اجزای اتصال
۵۳.....	۳-۱ مدلسازی پیچ ها

۵۴.....	۲-۲-۳ مدلسازی نبشی ها.....
۵۵.....	۳-۲-۳ مدلسازی تیر.....
۵۵.....	۴-۲-۳ مدلسازی ستون.....
۵۷.....	۵-۲-۳ مدلسازی سطوح تماس و لغزش نسبی اجزای اتصال.....
۵۸.....	۶-۲-۳ بارگذاری مدل.....
۶۱.....	۷-۲-۳ پیش تنیدگی پیچ ها.....
۶۱.....	۸-۲-۳ مشخصات مکانیکی اجزای اتصال.....
۶۲.....	۹-۲-۳ شرایط مرزی.....
۶۴.....	۱۰-۲-۳ نتایج تحلیل مدل اجزاء محدود.....
۶۴.....	۱-۳-۳ توزیع تنش های پیش تنیدگی.....
۶۵.....	۲-۳-۳ توزیع تنش های نبشی ها و تغییرشکل آنها.....
۶۸.....	۳-۴-۳ بررسی کارایی و دقت روش اجزاء محدود.....
۷۰.....	فصل چهارم
۷۰.....	مدلسازی اجزاء محدودی دال بتني سقف با اتصالات نیمه صلب
۷۱.....	۱-۴ مقدمه.....
۷۱.....	۲-۴ تئوری رفتار تیرهای مرکب.....
۷۵.....	۳-۴ مزایا و معایب سقف های مرکب.....
۷۶.....	۴-۴ مدل اجزاء محدود اتصال مرکب.....
۷۷.....	۱-۴-۴ برشگیرها.....
۷۷.....	۲-۴-۴ آرماتورهای دال.....
۷۸.....	۳-۴-۴ دال بتني.....
۷۹.....	۴-۴-۴ مدلسازی سطوح تماس و لغزش نسبی بین اجزای اتصال.....
۷۹.....	۵-۴-۴ مشخصات مکانیکی اجزای اتصال.....
۸۵.....	۵-۴-۴ مدل اجزای محدود اتصال مرکب با دال بتني ماهیچه ای.....
۸۷.....	۶-۴-۴ نتایج تحلیل اجزای محدود اتصال مرکب با دال تحت لنگر منفی.....
۸۷.....	۱-۶-۴ توزیع تنش ها در پیچ ها.....
۸۹.....	۲-۶-۴ توزیع تنش ها در نبشی ها و دال بتني سقف.....
۹۱.....	۳-۶-۴ کرنش های پلاستیک.....
۹۲.....	۴-۶-۴ منحنی لنگر- دوران اتصال با دال تحت و مقایسه آن با اتصال فولادی.....

۹۳.....	۴-۷ نتایج تحلیل اجزای محدود اتصال مرکب با دال بتنی تخت تحت لنگر مثبت.....
۹۳.....	۴-۷-۱ توزیع تنش ها در پیچ ها و نبشی ها.....
۹۶.....	۴-۷-۲ کرنش های پلاستیک.....
۹۱.....	۴-۷-۳ منحنی لنگر- دوران اتصال مرکب با دال تخت و مقایسه ای این منحنی در دو حالت لنگر مثبت و لنگر منفی.....
۹۹.....	۴-۸ نتایج تحلیل اجزای محدودی اتصال مرکب با دال ماهیچه ای تحت لنگر منفی.....
۱۰۰.....	۴-۸-۱ منحنی لنگر - دوران اتصال مرکب با دال بتنی ماهیچه ای تحت لنگر منفی.....
۱۰۱.....	۴-۹ نتایج تحلیل اجزای محدود اتصال مرکب با دال ماهیچه ای تحت لنگر مثبت.....
۱۰۴.....	۴-۹-۱ کرنش های پلاستیک.....
۱۰۵.....	۴-۹-۲ مقایسه منحنی های لنگر - دوران اتصالات مرکب با دال بتنی تخت و ماهیچه ای.....
۱۰۶.....	۴-۱۰ بررسی وضعیت تنش ها در دال بتنی، تحت لنگر خمی مثبت.....
۱۰۸.....	۴-۱۱ تنش ها در میلگردها و خاموت در اتصال ماهیچه ای، تحت لنگر خمی منفی
۱۱۱.....	فصل پنجم

۱۱۱.....	نتیجه گیری و پیشنهادات.....
۱۱۲.....	۱-۵ بحث و نتیجه گیری.....
۱۱۳.....	۲-۵ پیشنهادات.....

فهرست اشکال و جداول

..... شکل(۱-۱): طبقه بندی اتصالات	۱۵
..... شکل(۲-۱): سازه با سقف مرکب	۱۸
..... شکل(۳-۱): نمونه ای از منحنی لنگر- دوران یک اتصال	۱۹
..... شکل(۴-۱) (الف): چرخش اتصال	۲۰
..... شکل(۴-۱) (ب): چرخش ستون	۲۰
..... شکل(۱-۲): منحنی هیسترزیس مربوط به تسلیم خمشی پایه قائم نبشی و گسیختگی کششی پیچ ها	[۶] ۲۳
..... شکل(۲-۲): مدهای شکست و مکانیزم های تسلیم اتصالات نبشی نشیمن	[۶] ۲۴
..... جدول(۲-۱): مشخصات هندسی مدل های اتصال برای تحلیل اجزا محدود	[۱۰] ۲۷
..... شکل(۲-۳): پارامترهای متغیر اتصال	[۱۰] ۲۸
..... شکل(۴-۲) (a): مش بندی پیچ مدل A۲	[۱۰] ۲۹
..... شکل(۴-۲) (b): مش بندی پیچ مدل A۲S۲	[۱۱] ۳۱
..... شکل(۲-۵): منحنی لنگر- دوران مدل A۲S۲ با نیروی پیش تنیدگی متغیر	[۱۱] ۳۵
..... شکل(۲-۶): جزئیات آزمایشگاهی نمونه ۱	[۲۳] ۳۶
..... شکل(۲-۷): جزئیات نمونه های آزمایشگاهی ۲ و ۳	۳۶
..... شکل(۲-۸): جزئیات نمونه های آزمایشگاهی ۴ و ۵	۳۷
..... شکل(۲-۹): مدل سه بعدی اتصال فولادی و اتصال مرکب	[۲۳] ۳۸
..... شکل(۲-۱۰): تغییر شکل سه بعدی اتصال در امتدادهای اصلی و فرعی	[۲۳] ۳۸
..... جدول(۲-۲): خصوصیات مکانیکی مقاطع تیر و ستون	[۲۳] ۳۹
..... جدول(۲-۳): خصوصیات مکانیکی بتن	[۲۳] ۳۹
..... شکل(۲-۱۱): مدل اجزاء محدودی اتصال	۴۰
..... شکل(۲-۱۲): منحنی تنش- کرنش فولاد	[۲۳] ۴۱
..... شکل(۲-۱۳): منحنی تنش- کرنش پیچ ها و میلگردها	[۲۳] ۴۲
..... شکل(۲-۱۴): نمونه های آزمایشگاهی ۱ و ۲ بعد از انجام آزمایش	[۲۲] ۴۲
..... شکل(۲-۱۵): نمونه آزمایشگاهی ۳ قبل و بعد از انجام آزمایش	[۲۳] ۴۳
..... جدول(۲-۴): خلاصه نتایج آزمایشگاهی	[۲۳] ۴۳
..... شکل(۲-۱۶): جزئیات مدل در نظر گرفته شده	[۲۴] ۴۵

..... شکل (۲-۱۷): منحنی لنگر- دوران مدلهای A_1 , A_2 , A_3 [۲۴]	۴۹
..... شکل (۲-۱۸): منحنی لنگر- دوران نمونه های A و B [۲۴]	۵۰
..... شکل (۲-۱۹): منحنی لنگر- دوران به ازای درصد آرماتورهای مختلف [۲۴]	۵۰
..... شکل (۳-۱): جزئیات مش بندی پیچ ها	۵۴
..... شکل (۳-۲): جزئیات مدلسازی نبشی ها	۵۴
..... شکل (۳-۳): جزئیات مدلسازی تیر.	۵۵
..... شکل (۳-۴): جزئیات مدلسازی ستون	۵۶
..... شکل (۳-۵): جزئیات کل مدل	۵۶
..... جدول (۳-۱): جزئیات مدل آزمایشگاهی	۵۷
..... شکل (۳-۶): جزئیات مدل آزمایشگاهی A	۵۸
..... شکل (۷-۳): شکل شماتیک ایجاد لنگر خمی منفی در اتصال	۵۹
..... شکل (۸-۳): جزئیات نحوه بارگذاری اتصال	۵۹
..... شکل (۳-۹): جزئیات بارگذاری در آزمایشگاه	۶۱
..... شکل (۳-۱۰): منحنی تنش- کرنش اجزای اتصال	۶۲
..... شکل (۳-۱۱): شرایط مرزی و بارگذاری	۶۳
..... شکل (۱۲-۳): شرایط مرزی ایجاد شده برای پیچ ها	۶۳
..... شکل (۱۳-۳): توزیع تنش های پیش تنیدگی و انتقال نیرو بین اجزای اتصال	۶۴
..... شکل (۱۴-۳): توزیع تنش های فون- مایسز نبشی تحتانی و انطباق آن با مدهای شکست پیشنهادی [۱۳]	۶۵
..... شکل (۳-۱۵): جزئیات تغییرشکل و توزیع تنش در نبشی تحتانی	۶۶
..... شکل (۱۶-۳): نمودار تنش- کرنش المان بحرانی در نبشی تحتانی	۶۶
..... شکل (۱۷-۳): تغییرشکل و توزیع تنش در نبشی فوقانی	۶۷
..... شکل (۱۸-۳): نمودار تنش- کرنش المان بحرانی در نبشی تحتانی	۶۸
..... شکل (۱۹-۳): منحنی لنگر دوران اتصال	۶۹
..... شکل (۱-۴): رفتار تیر ساخته شده از بتن و فولاد با عملکرد غیرمرکب [۲۶]	۷۲
..... شکل (۲-۴): رفتار تیر ساخته شده از بتن و فولاد با عملکرد مناسب [۲۶]	۷۴
..... شکل (۳-۴): توسعه نیروهای برشی در محل اتصال بتن و فولاد در اثر عملکرد مرکب تیر [۲۶]	۷۴

..... شکل ۴-۴: نیمرخ مرکب تحت تاثیر لنگر خمشی منفی [۲۶]	۷۶
..... شکل (۴-۵): اتصال فولادی همراه دال بتنی	۷۶
..... شکل (۴-۶): جزئیات و نحوه قرارگیری برشگیرها	۷۷
..... شکل (۷-۴): جزئیات مدلسازی آرماتورهای دال بتنی	۷۸
..... شکل (۸-۴): جزئیات مدلسازی دال بتنی	۷۹
..... شکل (۱۰-۴): مدل بتن غیر مسلح در کشش خالص و کاهش سختی در کرنش های بزرگتر از حد الاستیک	۸۱
..... شکل (۱۱-۴): بازیابی سختی به هنگام ورود از کشش به فشار [۲۶]	۸۲
..... شکل (۱۲-۴): عدم تغییر سختی به هنگام ورود از فشار به کشش [۲۶]	۸۳
..... شکل (۱۳-۴): مدل بارگذاری دلخواه فشاری و کششی تکمحوری [۲۶]	۸۴
..... شکل (۱۴-۴): اتصال مرکب با دال ماهیچه ای	۸۵
..... شکل (۱۵-۴): جزئیات خاموت گذاری و آرماتور گذاری در دال بتنی	۸۶
..... شکل (۱۶-۴): جزئیات اتصال مرکب	۸۶
..... شکل (۱۷-۴): جزئیات خاموت گذاری در دور ستون	۸۷
..... شکل (۱۸-۴): توزیع تنش در پیچ های ساق قائم نبشی ها	۸۸
..... شکل (۱۹-۴): تغییرشکل اتصال	۸۸
..... شکل (۲۰-۴): توزیع تنش ها در نبشی تحتانی	۸۹
..... شکل (۲۱-۴): توزیع تنش ها در نبشی فوقانی	۸۹
..... شکل (۲۲-۴): توزیع تنش ها در اجزای اتصال	۹۰
..... شکل (۲۳-۴): نمایش کانتورهای تنش در دال بتنی	۹۰
..... شکل (۲۴-۴): منحنی تنش - کرنش المان بتنی در حالت کششی	۹۱
..... شکل (۲۵-۴): کرنش پلاستیک در نبشی فوقانی	۹۲
..... شکل (۲۶-۴): کرنش پلاستیک در نبشی تحتانی	۹۲
..... شکل (۲۷-۴): منحنی لنگر - دوران اتصال مرکب با دال بتنی تحت تخت تحت لنگر منفی	۹۲
..... شکل (۲۸-۴): توزیع تنش ها در پیچ ها و نبشی تحتانی	۹۴
..... شکل (۲۹-۴): توزیع تنش ها در پیچ ها و نبشی فوقانی	۹۴
..... شکل (۳۰-۴): منحنی تنش - کرنش المان انتخاب شده از نبشی فوقانی	۹۴

.....	شکل(۴-۳۱): توزیع تنشهای دار دال بتنی.	۹۵
.....	۹۵
.....	۹۶
.....	۹۷
.....	۹۸
.....	۹۸
.....	۹۹
.....	۱۰۰
.....	۱۰۰
.....	۱۰۰
.....	۱۰۱
.....	۱۰۲
.....	۱۰۲
.....	۱۰۲
.....	۱۰۲
.....	۱۰۳
.....	۱۰۴
.....	۱۰۴
.....	۱۰۵
.....	۱۰۶
.....	۱۰۷
.....	۱۰۸
.....	۱۰۹

شکل (۴-۵۶): منحنی تنش-کرنش میلگرد ۱۰۹

شکل (۴-۵۷): منحنی تنش-کرنش خاموت ۱۰۹

شکل (۴-۵۸): منحنی تنش-دوران اتصال برای المان بحرانی خاموت ۱۱۰

فصل اول

مقدمه

۱-۱ مقدمه‌ای بر اتصالات نیمه‌صلب^۱

آسیب‌پذیری اتصالات خمشی تحت بارگذاری سیکلی شدید در طی زلزله ۱۹۹۴ نورث‌ریچ و ۱۹۹۵ کوبه آشکار گردید. از آن زمان، اتصالات متعددی برای بهسازی و طراحی جدید قابهای خمشی فولادی در مناطق با لرزه‌خیزی بالا ارائه گردید. یکی از اتصالات پیشنهادی اتصالات با پیچهای پر مقاومت بود. بسیاری از اتصالات پیچی که اغلب اتصالات نیمه‌صلب نامیده می‌شوند بسیار انعطاف پذیرتر از اتصالات جوشی متناظر خود می‌باشند. رفتار غیر ارجاعی اتصالات پیچی ذاتاً پیچیده‌تر از انواع جوشی هستند و این بدليل متنوع بودن اجزاء متشکله اتصال از قبیل پیچها، نبشی‌ها و ورقها است که باعث گستردگی تنوع دامنه این نوع اتصالات می‌گردد. لذا یک اتصال پیچی رفتار پیچیده‌ای بدليل تنوع مدهای شکست خواهد داشت. با وجود این، اگر طراحی به نحو صحیحی صورت گیرد، اتصال پیچی می‌تواند شکل‌پذیری^۲ بالا و ظرفیت اتلاف انرژی بیشتری داشته باشد چرا که در این صورت شکست ترد^۳ که در اتصال جوشی وجود دارد دیگر نخواهد بود.

برای انجام تحلیل و طراحی سه بعدی قاب نیمه‌صلب، مهم است که رفتار لنگر - دوران اتصالات تیر ستون ارزیابی گردد. تعداد کثیری مطالعات آزمایشی برای تخمین مشخصات روابط لنگر - دوران اتصالات نبشی نشیمن صورت گرفته است. یکی از کارهای تجربی (Azizinamini 1985, Rathbun 1936) برای صحت مطالعات تحلیل بکار رفته است. یکی از مشکلات بررسی رفتار این اتصالات تعیین تنش‌های واقعی و الگوهای تغییرشکل اتصالات تیر به ستون است. معمولاً در تستهای آزمایشگاهی تستهای اجزا با تبدیل کرنش‌های واقعی و تغییرشکلها در تستهای آزمایشگاهی آسان نیست ولی برای تعیین الگوهای توزیع تست - تغییرشکل در اتصالات لازم است [۱].

¹Semi rigid

²Ductility

³Brittle

برای تخمین رفتار لنگر- دوران^۱ اتصالات تیر به ستون بررسی‌های تجربی متعددی توسط Azizinamini و همکارانش در سال ۱۹۹۰ ، Harper در سال ۱۹۸۵ دیگران صورت گرفته است. این اتصال اصولاً برای انتقال واکنش قائم تکیه‌گاهی توسط نبشی تحتانی طراحی می‌شود و برای تامین شرایط تکیه‌گاه جانبی برای بال فوکانی تیر از نبش فوکانی استفاده می‌شود. با این حال از نتایج آزمایشات دیده می‌شود که این نوع اتصال نیز قادر به انتقال لنگر تیر به ستون می‌باشد بسیاری از محققان از این کارهای تحقیقاتی برای امتحان میزان صحت بررسی‌های تحلیلی خود برای ارائه مدل‌های ریاضی خود که جزئیات اتصال را به منحنی‌های لنگر - دوران ارتباط می‌دهد استفاده می‌کنند [۲].

علیرغم بسیاری از مطالعات تجربی که تا به حال صورت گرفته است، هنوز نیاز به درک بهتری از مکانیزم‌های مؤثر در رفتار غیرخطی این اتصالات احساس می‌شود. پاسخ غیرخطی منحنی لنگر - دوران اتصالات در اوایل سالهای ۱۹۳۰ مطرح گردید، و با استفاده از روش‌هایی مانند برازش چند جمله‌ای‌ها، بی‌اسپلاین مکعبی و توابع توانی بر روی اطلاعات موجود سعی در ایجاد مدل‌های استاندارد خطی و دو خطی تا مدل‌های پیچیده گردید.

در مطالعات اخیر، روش‌های ساده ریاضی برای ارتباط دادن بین جزئیات اتصال و منحنی‌های لنگر- دوران با روش منطبق کردن منحنی‌های نتایج تجربی ایجاد گردیده است. (Kishi- Chen 1990 – Frye-Morries 1975 LeMessurier (1974), Monforton-Wu (1963), Rathbun (1936)) مدل‌های خطی را که در آنها سختی اولیه پارامتر کلیدی را داشت ارائه داده- اند. (F.Danesh 1996) رابطه دو خطی را برای تخمین رفتار اتصالات نبشی ارائه داده و در آن اثر تغییرشکلهای برشی را نیز در نظر گرفته است. مدل دوخطی^۲ (Tarpy-Cardinal 1981, Lui-Chen 1980-81) و مدل خطی تکه‌ای (Jones et al. 1983) علیرغم برخی نقایص تقریب بهتری از رفتار اتصال می‌داد. (Fry-Morries 1975) مدل چند جمله‌ای برای انواع مختلف اتصال ارائه دادند. با این

¹ Moment- Rotation

² Bilinear

حال این مدل نیز در برخی موارد سختی منفی را نتیجه می‌داد که از نظر فیزیکی غیر ممکن بود.^[۱]

مدل نمایی^۱ (Wu-Chen 1990, Yee-Melchers 1986) برای بررسی منحنی‌های لنگر- دوران اتصالات ارائه گردید. مدل‌هایی که از تابع توان استفاده کرده‌اند و مدل توانی نامیده شدند (Kishi- Chen1990, Colson-Louveau 1983) نیز گزارش شده‌اند. دقت این مدل‌ها محدود بوده و برای محدوده کوچکی از دوران اولیه مناسب می‌باشند و استفاده از آنها محدود به بارگذاری مونوتونیک^۲ می‌باشد.

معمولًاً روابط لنگر- دوران ارائه شده در بر گیرنده پارامترهایی هستند که از آزمایشات محدود به دست آمده‌اند. فقدان داده‌های تجربی قابل ملاحظه‌ای و پارامتری اجازه ایجاد چنین توابع استانداردی را نمی‌دهد.

۱-۱-۱ طبقه‌بندی اتصالات

ویژگی‌های رفتاری اتصالات تیر به ستون بوسیله‌ی منحنی لنگر- دوران تشریح می‌شود. اتصالات بر اساس سه ویژگی عمدی مقاومت، سختی و شکل‌پذیری طبقه‌بندی می‌شوند شکل (۱-۱).

¹ Power model

² Monotonic